

Biologische Anomalien innerhalb der Quantisierung der Längenskalen im T0-Modell

Johann Pascher

12. April 2025

Zusammenfassung

Diese Arbeit untersucht die besondere Stellung biologischer Strukturen innerhalb der im T0-Modell identifizierten Quantisierung der Längenskalen. Während die quantisierte Hierarchie der Längenskalen von sub-Planck'schen bis zu kosmologischen Dimensionen stabile Bereiche und instabile Zonen aufweist, bilden biologische Strukturen stabile Konfigurationen in diesen instabilen Bereichen. Diese Anomalie wird im Rahmen des T0-Modells mit Energie als Basiseinheit analysiert und als mögliche fundamentale Eigenschaft des Lebens interpretiert. Theoretische Erklärungen basieren auf der Interaktion biologischer Systeme mit dem intrinsischen Zeitfeld $T(x)$, und experimentelle Konsequenzen werden diskutiert. Alle Parameter und Einheiten sind in natürlichen Einheiten definiert, konsistent mit der Hierarchie des T0-Modells [1].

1 Einleitung: Die Anomalie biologischer Strukturen

In der systematischen Zusammenstellung natürlicher Einheiten mit Energie als Basiseinheit [1] wurde die fundamentale Quantisierung der Längenskalen als zentrales Ergebnis des T0-Modells identifiziert. Diese Quantisierung zeigt stabile Längenbereiche, beschrieben durch Potenzen dimensionsloser Konstanten, sowie instabile Zonen, in denen physikalische Strukturen selten sind.

Bemerkenswert ist, dass biologische Strukturen bevorzugt diese instabilen Zonen besiedeln, im Gegensatz zu physikalischen Entitäten wie Elementarteilchen oder Galaxien, die sich in stabilen Bereichen konzentrieren. Diese Arbeit analysiert diese Anomalie und untersucht ihre Implikationen für das Verständnis des Lebens im T0-Modell.

2 Wiederholung der Quantisierung der Längenskalen

Im T0-Modell wird die Quantisierung der Längenskalen durch die Formel beschrieben:

$$L_n = l_P \times \prod_i (\alpha_i)^{n_i}, \quad (1)$$

wobei:

- L_n eine bevorzugte Längenskala ist,
- $l_P = 1$ die Planck-Länge in natürlichen Einheiten ist,
- α_i dimensionslose Konstanten wie $\xi = 1,33 \times 10^{-4}$ sind,
- n_i ganzzahlige oder rationale Exponenten sind [1].

Diese Quantisierung führt zu stabilen Längenbereichen und instabilen Zonen dazwischen.

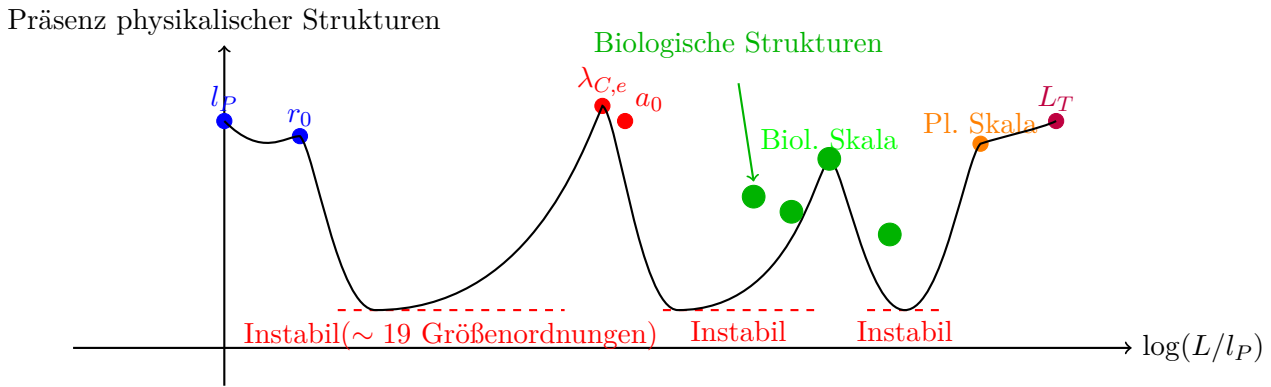


Abbildung 1: Schematische Darstellung der Stabilitätszentren und instabilen Zonen entlang der logarithmischen Längenskala, mit Hervorhebung biologischer Strukturen [1].

3 Die Position biologischer Strukturen in der Längenskalenhierarchie

Die charakteristischen Längen biologischer Strukturen zeigen:

Biologische Struktur	Typische Größe	Verhältnis zu l_P	Erwarteter Stabilitätsbereich	Position
DNA-Durchmesser	$\sim 2 \times 10^{-9}$ m	$\sim 10^{-26}$	Außerhalb	Instabile Zone
Protein	$\sim 10^{-8}$ m	$\sim 10^{-27}$	Außerhalb	Instabile Zone
Bakterium	$\sim 10^{-6}$ m	$\sim 10^{-29}$	Außerhalb	Instabile Zone
Typische Zelle	$\sim 10^{-5}$ m	$\sim 10^{-30}$	Außerhalb	Instabile Zone
Mehrzelliger Organismus	$\sim 10^{-3} - 10^0$ m	$\sim 10^{-32} - 10^{-35}$	Außerhalb	Instabile Zone

Tabelle 1: Position biologischer Strukturen in der Längenskalenhierarchie. Die Verhältnisse zu $l_P = 1$ wurden in natürlichen Einheiten aus empirischen Beobachtungen abgeleitet, konsistent mit der Hierarchie der Längenskalen im T0-Modell [1].

Biologische Strukturen liegen in instabilen Zonen, was Fragen aufwirft:

1. Wie bilden biologische Systeme stabile Strukturen in instabilen Bereichen?
2. Ist diese Anomalie zufällig oder fundamental?
3. Welche Mechanismen überwinden die Quantisierungseinschränkungen?

4 Theoretische Erklärungen im Rahmen des T0-Modells

4.1 Emergenzhypothese

Leben könnte durch die Fähigkeit gekennzeichnet sein, Stabilität in instabilen Zonen zu erzeugen. Im T0-Modell wird dies formalisiert als:

$$\nabla^2 T(x)_{\text{bio}} \approx -\frac{\rho}{T(x)^2} + \delta_{\text{bio}}(\vec{x}, t), \quad (2)$$

wobei $\delta_{\text{bio}}(\vec{x}, t) = \kappa \cdot I(\vec{x}, t)$ ein dimensionsloser Korrekturterm ist, mit κ als Kopplungskonstante und $I(\vec{x}, t)$ als Informationsdichte, konsistent mit der Dynamik des Zeitfeldes im T0-Modell [1].

4.2 Komplexitätsvermittelte Zeitfeld-Interaktion

Die Interaktion biologischer Systeme mit $T(x)$ könnte durch Komplexität vermittelt sein:

$$T(x)_{\text{bio}} = T(x) \cdot \Omega(\text{Komplexität}), \quad (3)$$

wobei $\Omega(\text{Komplexität})$ ein dimensionsloses Maß der Informationsverarbeitung ist. Die Längenskala wird modifiziert:

$$L_{\text{bio}} = l_P \times \xi^{n_\xi} \times \Omega(\text{Komplexität}), \quad (4)$$

konsistent mit der Quantisierung $L_n = l_P \times \xi^{n_\xi}$ im T0-Modell [1].

4.3 Informationsbasierte Entkopplung

Biologische Systeme könnten sich durch Information teilweise von physikalischen Gesetzen entkoppeln:

$$\beta_{\text{T}}^{\text{bio}} = \beta_{\text{T}} \cdot f(I/S), \quad (5)$$

wobei I die Informationsdichte und S die Entropie sind, beide dimensionslos [1].

5 Experimentelle Konsequenzen und Prüfmöglichkeiten

Die Hypothesen führen zu folgenden Vorhersagen:

1. **Unterschiedliche Dekohärenzraten:** Biologische Strukturen zeigen reduzierte Dekohärenzraten, testbar durch Präzisionsinterferometrie [1].
2. **Nichtlineare Reaktion auf Zeitfelder:** Biologische Systeme reagieren anders auf Gravitationsgradienten, messbar durch biologische Aktivität in variierenden Feldern.
3. **Informationsabhängige Stabilität:** Stabilität korreliert mit Informationsgehalt, testbar durch vergleichende Analysen.
4. **Längenabhängige Aktivität:** Biochemische Reaktionen zeigen Anomalien nahe Quantisierungspunkten, messbar durch Reaktionskinetik.

6 Philosophische Implikationen

Die Anomalie biologischer Strukturen hat tiefgreifende Implikationen:

1. **Leben als fundamentales Phänomen:** Leben könnte ein komplementäres Prinzip zu physikalischen Gesetzen sein.
2. **Physik und Information:** Die Stabilität in instabilen Zonen deutet auf eine Verbindung zwischen Physik und Information hin.
3. **Zeitfeld und Bewusstsein:** Die Interaktion mit $T(x)$ könnte Bewusstsein physikalisch begründen.
4. **Teleologische Interpretation:** Die Positionierung biologischer Strukturen könnte ein emergentes Prinzip des T0-Modells andeuten.

7 Zusammenfassung und Ausblick

Die Anomalie biologischer Strukturen legt nahe, dass Leben eine fundamentale Rolle im Kosmos spielt. Das T0-Modell mit $\alpha_{\text{EM}} = \beta_{\text{T}} = \alpha_{\text{W}} = 1$ bietet einen Rahmen, um diese Anomalie zu erklären. Zukünftige Forschung sollte Präzisionsmessungen der Quantenkohärenz und Zeitfeldreaktionen fokussieren [1].

8 Weitere Anomalien in der Längenskalenhierarchie

8.1 Wasser als anomales Medium

Wasser zeigt Anomalien wie Dichteanomalien und hohe Wärmekapazität, mit einer charakteristischen Längenskala von $\sim 10^{-25} l_P$ in instabilen Zonen [1].

8.2 Supraleitung und Quantenkohärenzphänomene

Supraleiter zeigen Quantenkohärenz in instabilen Zonen:

Supraleitertyp	Kohärenzlänge	Verhältnis zu l_P	Position	Besonderheit
Typ-I-Supraleiter (Pb, Hg)	$\sim 10^{-7}$ m	$\sim 10^{-28}$	Instabile Zone	Vollständiger Meißner-Effekt
Typ-II-Supraleiter (Nb_3Sn)	$\sim 10^{-8}$ m	$\sim 10^{-27}$	Instabile Zone	Flussschlauchzustand
Kuprat-HTS (YBCO)	$\sim 10^{-9}$ m	$\sim 10^{-26}$	Instabile Zone	Hohe Sprungtemperatur
Eisenpniktide	$\sim 10^{-9}$ m	$\sim 10^{-26}$	Instabile Zone	Unkonventioneller Mechanismus

Tabelle 2: Kohärenzlängen verschiedener Supraleitertypen in natürlichen Einheiten (Verhältnisse zu $l_P = 1$). Werte sind theoretische Abschätzungen, konsistent mit der Quantisierung der Längenskalen im T0-Modell [1].

8.3 Weitere anomale Phänomene

Phänomen	Charakteristische Länge	Verhältnis zu l_P	Position	Besondere Eigenschaft
Quasikristalle	$\sim 10^{-9} - 10^{-8}$ m	$\sim 10^{-26}$	Instabile Zone	Aperiodische Ordnung
Fraktale in der Natur	Multi-Skalen	Übergreifend	Mehrere Zonen	Skalenübergreifende Selbstähnlichkeit
Bose-Einstein-Kondensate	$\sim 10^{-6}$ m	$\sim 10^{-29}$	Instabile Zone	Makroskopischer Quantenzustand
Weiche Materie	$\sim 10^{-8} - 10^{-6}$ m	$\sim 10^{-27}$	Instabile Zone	Flüssigkristalline Ordnung
Kosmische Fäden	$\sim 10^{22} - 10^{24}$ m	$\sim 10^{-59}$	Instabile Zone	Hypothetische topologische Defekte
Turbulente Strömungen	Multi-Skalen	Übergreifend	Mehrere Zonen	Hierarchie von Wirbelstrukturen
Ferromagnet. Domänen	$\sim 10^{-6} - 10^{-4}$ m	$\sim 10^{-29}$	Instabile Zone	Symmetriebrechung
Topologische Isolatoren	$\sim 10^{-8} - 10^{-7}$ m	$\sim 10^{-27}$	Instabile Zone	Topologisch geschützte Zustände

Tabelle 3: Weitere anomale Phänomene in instabilen Längenbereichen, angegeben in natürlichen Einheiten (Verhältnisse zu $l_P = 1$). Werte basieren auf der Längenskalenhierarchie des T0-Modells; kosmische Fäden sind hypothetisch [1].

8.3.1 Quasikristalle und aperiodische Ordnung

Quasikristalle zeigen Ordnung ohne Periodizität bei $\sim 10^{-26} l_P$, stabil durch aperiodische Strukturen [1].

8.3.2 Fraktale Strukturen

Fraktale überbrücken Skalen durch Selbstähnlichkeit, stabil durch Modulation von $T(x)$ [1].

8.3.3 Topologisch geschützte Zustände

Topologische Isolatoren sind robust durch topologische Invarianten [1].

8.3.4 Makroskopische Quantenkohärenz

Bose-Einstein-Kondensate zeigen Quantenkohärenz bei $\sim 10^{-29}l_P$, stabil durch kollektive Zustände [1].

8.4 Gemeinsame Stabilisierungsmechanismen

8.4.1 Informationsbasierte Stabilisierung

Biologische Strukturen, Wasser und Supraleiter nutzen Information:

$$T(x)_{\text{koop}} = T(x) \cdot \exp\left(\frac{I_{\text{koop}}}{k_B T}\right), \quad (6)$$

wobei I_{koop} die kooperative Information ist [1].

8.4.2 Topologische Stabilisierung

Topologische Systeme nutzen Invarianten:

$$T(x)_{\text{topo}} = T(x) \cdot (1 + \chi \cdot \mathcal{T}), \quad (7)$$

wobei \mathcal{T} dimensionslos ist [1].

8.4.3 Dynamische Stabilisierung

Dynamische Prozesse stabilisieren fernab vom Gleichgewicht:

$$T(x)_{\text{dyn}} = T(x) \cdot \left(1 + \kappa \cdot \frac{\dot{S}_{\text{prod}}}{S_{\text{eq}}}\right), \quad (8)$$

wobei \dot{S}_{prod} die Entropieproduktionsrate ist [1].

8.5 Geordnete Komplexität

Prinzip der geordneten Komplexität

Systeme mit hoher geordneter Komplexität überwinden destabilisierende Effekte von $T(x)$ in instabilen Zonen:

$$T(x)_{\text{mod}} = T(x) \cdot F(\Omega), \quad (9)$$

wobei Ω dimensionslos ist [1].

8.6 Logarithmische Natur der Längenskalenabstände im T0-Modell

Die Längenskalen sind logarithmisch verteilt:

1. **Hierarchie dimensionsloser Verhältnisse:** Der Parameter $\xi = 1,33 \times 10^{-4}$ wird hergeleitet:

$$\xi = \frac{\lambda_h^2 v^2}{16\pi^3 m_h^2}, \quad (10)$$

und erzeugt logarithmische Abstände:

$$L_n = l_P \times \xi^{n_\xi}, \quad \log\left(\frac{L_{n+1}}{L_n}\right) = \log(\xi) \approx -8,923 [1]. \quad (11)$$

2. **Teilchenmassenhierarchie:** Compton-Wellenlängen $\lambda = 1/m$ erzeugen logarithmische Abstände durch Massenverhältnisse [1].
3. **SI-Werte als Artefakte:** SI-Werte wie $\alpha_{\text{EM}} \approx 1/137$ sind unnatürlich; die logarithmische Struktur bleibt in natürlichen Einheiten erhalten [1].
4. **Renormierungsgruppenfluss:** Logarithmische Abstände entsprechen Fixpunkten eines multiplikativ transformierten Flusses [1].

9 Experimentelle Feinmessmethoden

9.1 Zeitfeld-Modulationen

1. **Interferometrische Methoden:** Quanteninterferometer detektieren Modulationen von $T(x)$ durch biologische Systeme [1].
2. **Zeitaufgelöste Spektroskopie:** Abweichungen in der Zeitauflösung zeigen biologische Modulationen [1].
3. **Präzisions-Gravimetrie:** Gravitationsmessungen zeigen Anomalien durch $T(x)$ [1].

9.2 Vergleichende Messungen

- **Biologisch-anorganische Hybridstrukturen:** Gradienten in $T(x)$ an Grenzflächen [1].
- **Quasikristall-Kristall-Übergänge:** Übergangssignaturen in $T(x)$ [1].

10 Formale Beschreibung der Stabilisierungsmechanismen

10.1 Verallgemeinerte Zeitfeld-Modifikation

$$T(x)_{\text{mod}} = T(x)_0 \cdot \left[1 + \sum_i \lambda_i \cdot \Phi_i(\mathbf{x}, t) \right], \quad (12)$$

wobei Φ_i dimensionslos ist [1].

10.2 Funktionale Form der Modulationsfunktionen

10.2.1 Informationsbasierte Modulation

$$\Phi_{\text{info}}(\mathbf{x}, t) = \exp(I(\mathbf{x}, t)) - 1, \quad (13)$$

wobei $I(\mathbf{x}, t)$ dimensionslos ist [1].

10.2.2 Topologische Modulation

$$\Phi_{\text{topo}}(\mathbf{x}, t) = \chi \cdot \mathcal{T}(\mathbf{x}, t), \quad (14)$$

wobei \mathcal{T} dimensionslos ist (z. B. fraktale Dimension D_F) [1].

10.2.3 Dynamische Modulation

$$\Phi_{\text{dyn}}(\mathbf{x}, t) = \kappa \cdot \frac{\dot{S}_{\text{prod}}(\mathbf{x}, t)}{S_{\text{eq}}}, \quad (15)$$

wobei \dot{S}_{prod} dimensionslos ist [1].

10.3 Feldgleichungen

$$\nabla^2 T(x)_{\text{mod}} \approx -\frac{\rho}{T(x)_{\text{mod}}^2} + \sum_i \nabla \cdot (\lambda_i \nabla \Phi_i), \quad (16)$$

wobei $\Phi_i = \eta_i \cdot C_i$ dimensionslose Charakteristika repräsentiert [1].

11 Phasenübergänge

Übergangstyp	Charakteristik	Beispielsystem	Ordnung	Zeitfeld-Signatur
Kontinuierlicher Übergang	Stetige Änderung	Wachsende Kristalle	Zweite Ordnung	Graduelle Modulation
Diskontinuierlicher Übergang	Sprunghafte Änderung	Supraleiter	Erste Ordnung	Abrupte Modulation
Hybrid-Übergang	Gemischte Charakteristik	Biomineralisation	Gemischt	Komplexe Modulation
Topologischer Übergang	Invariantenänderung	Quantenphasenübergänge	–	Topologische Defekte

Tabelle 4: Klassifikation von Übergängen zwischen erlaubten und instabilen Längenskalen, abgeleitet aus der Dynamik des Zeitfeldes $T(x)$ im T0-Modell [1].

11.1 Emergente Phänomene

1. **Erhöhte Fluktuationen:** Verstärkte Quantenfluktuationen an Übergängen.
2. **Anomale Diffusion:** Nicht-Ficksche Charakteristiken.
3. **Kohärenzphänomene:** Spontane Kohärenzbildung [1].

12 Implikationen für künstliche Systeme

12.1 Design stabiler Strukturen

1. **Informationsbasierte Materialien:** DNA-Origami in instabilen Zonen.
2. **Topologische Quantentechnologien:** Robuste Quantencomputer.
3. **Dynamische Nanostrukturen:** Aktive Nanosysteme [1].

12.2 Bionik

- **Zeitfeld-Modulator-Materialien:** Biomimetische Materialien.
- **Hierarchische Informationsspeicherung:** Biologische Vorbilder [1].

Anwendungsbereich	Potenzielle Technologie	Mechanismus
Quanteninformationstechnologie	Zeitfeldmodulierte Qubits	Informationsbasierte Stabilisierung
Medizinische Implantate	Biomimetische Materialien	Hybrid-Stabilisierung
Energiespeicherung	Supraleitende Speicher	Topologische Stabilisierung
Katalyse	Quasikristalline Katalysatoren	Informationsbasierte Stabilisierung
Sensorik	Quantensensoren	Dynamische Stabilisierung
Kommunikationstechnologie	Zeitfeldmodulierte Signalübertragung	Informationsbasierte Stabilisierung

Tabelle 5: Potenzielle technologische Anwendungen basierend auf Stabilisierungsmechanismen in instabilen Zonen, abgeleitet aus der Physik des T0-Modells [1].

12.3 Potenzielle Anwendungen

Literatur

- [1] J. Pascher, *Systematische Zusammenstellung natürlicher Einheiten mit Energie als Basis-einheit*, April 2025.